

## **PROGNOZOWANIE STANU TECHNICZNEGO MECHANIZMU OBROTU PŁUGA Z WYKORZYSTANIEM MODELU REGRESYJNEGO**

Bogusław Cieślikowski

*Katedra Inżynierii Mechanicznej i Agrofizyki, Uniwersytet Rolniczy w Krakowie*

**Streszczenie.** W przedziałach czasu eksploatacji pluga obrotowego LEMKEN VARI-OPAL7 wyznaczono intensywność zmiany pozycjonowania mechanizmu obrotu. Opracowano model regresyjny typu: parametr sygnału diagnostycznego w funkcji ilości cykli roboczych. Zapisano model trendu zmiany parametru diagnostycznego, wyznaczając wykładnik potęgowy określający charakter zmian stanu technicznego obiektu. Zapas resuru obiektu odniesiono do zmierzonych wartości parametru z uwzględnieniem wartości granicznych dokonując ponadto analizy trendu krzywej eksploatacyjnej obiektu.

**Słowa kluczowe:** diagnostyka funkcjonalna, model regresyjny, parametr diagnostyczny, plug obrotowy

### **Wstęp**

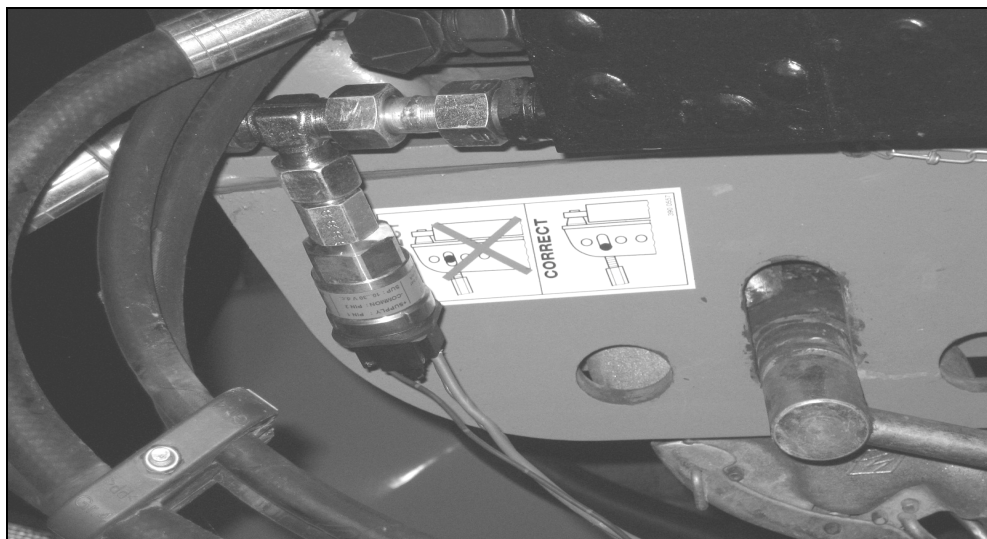
Częstym przypadkiem procesu diagnostycznego jest konieczność prognozowania resuru obiektu gdy nie ma ciągłości danych dotyczących oceny parametrów obiektu w czasie eksploatacji. Opracowany model umożliwia prognozowanie resuru obiektu na podstawie dynamiki zmian wybranych cech obiektu w odniesieniu do ilości cykli roboczych. W publikacji zaprezentowano możliwość prognozowania stanu technicznego mechanizmu pozycjonowania pluga obrotowego LEMKEN VARI-OPAL7 na podstawie intensywności zmiany parametru diagnostycznego. Przeprowadzona analiza układu hydraulycznego pluga ze względu na ocenę podatności diagnostycznej, stanowiła podstawę dla dokonania selekcji metod diagnozowania oraz wyboru sygnałów diagnostycznych [Materiały inf. 2005]. W wyniku dokonanej analizy zaproponowano ocenę parametryczną opartą na pomiarze zmiany kąta obrotu mechanizmu w funkcji czasu przy jednoczesnej analizie zjawiska udaru hydraulicznego w układzie hydrauliki siłowej pluga obrotowego.

### **Dobór środków diagnostycznych**

Wyznaczenie kąta obrotu mechanizmu w przedziałach czasu opiera się na szybko-zmiennych pomiarach parametrów diagnostycznych obrazujących zmienność cech elementów i układów roboczych.

Dokonano doboru a następnie zainstalowano w analizowanym układzie (rys. 1) następujące przetworniki:

- czujnik ciśnienia: MBS-3000 DANFOSS,
- potencjometr liniowy: PR1 k-A,
- czujnik temperatury: LB- 471T.



Rys. 1. Zainstalowany bezineryczny przetwornik ciśnienia MBS-3000 DANFOSS na wyjściu z rozdzielacza hydraulycznego

Fig. 1. Installed inertialess pressure transducer (MBS-3000 DANFOSS) at outlet from hydraulic manipulator

Sygnał odczytany z mostków pomiarowych przetwornika ciśnienia oraz potencjometru pozycjonowania mechanizmu kierowany był do karty pomiarowej, a następnie do komputera wyposażonego w oprogramowanie Dasy-Lab 6.0. Karta pomiarowa PC-LabCard typu PCL-818L wyposażona jest w 8 analogowych wyjść o częstotliwości próbkowania wynoszącej 10[MHz] przy zasilaniu napięciem stałym o wartości 0-5 [V].

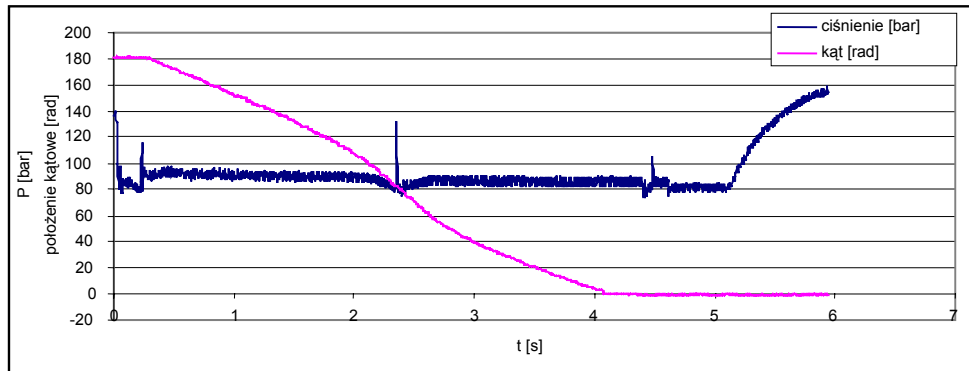
Pomiary zostały przeprowadzone w warunkach obrotu płyga dla pełnego cyklu (obrót mechanizmu o  $180^\circ$ ) dla kroku pomiarowego 0,01 s.

Analizie poddane zostały przebiegi parametrów ciśnienia cieczy roboczej oraz położenia kątowego maszyny w funkcji czasu (rys. 2). Przebieg ciśnienia panującego w układzie jest ściśle uzależniony od kąta pochylenia ramy płyga.

Układ pomiarowo-rejestrujący pozwala na zapis takich parametrów jak:

- temperatura oleju w układzie,
- zmiana kąta obrotu płyga,
- przebieg ciśnienia w układzie hydraulycznym,
- czas obrotu płyga.

## Prognozowanie stanu technicznego...



Rys. 2. Charakterystyki ciśnienia oraz kąta obrotu ramy płyga w funkcji czasu  
Fig. 2. Characteristics of pressure and plough frame rotation angle in function of time

Zapis ujawnia efekt udaru hydraulicznego powstającego głównie podczas otwarcia zaworu rozdzielacza hydraulicznego w trakcie uruchomienia układu obrotu płyga co ma zasadniczy wpływ na trwałość rozdzielacza hydraulicznego i uszczelnień silownika układu.

Niezależnie od skoków ciśnień powstających w wyniku przesterowaniem rozdzielacza zauważać można, iż uśredniony przebieg ciśnienia jest prostoliniowy z wyjątkiem udaru spowodowanego siłą bezwładności mechanizmu, dla położenia mechanizmu w tzw. marowym punkcie (rys. 2).

### Prognozowanie stanu technicznego obiektu

Proponowana metodyka obejmuje zagadnienia prognozowania stanu obiektu z uwzględnieniem jednowymiarowej przestrzeni sygnałów diagnostycznych [Cieślakowski 2004]. W przypadku oceny wieloparametrowej resuru obiektu zachodzi potrzeba zapisu powiązań parametrów, tworząc parametry uogólnione. Znając zapas resuru elementów obiektu można określić czas niezawodnego działania, który jest równy najmniejszemu zapasowi resuru elementu stanowiącego składnik obiektu diagnozowanego [Michalski i in. 1997]. Zasadniczym problemem jest wyznaczenie intensywności zmian parametrów stanu technicznego obiektu w funkcji parametru eksploatacyjnego, jakim jest w tym przypadku ilość pełnych cykli pozycjonowania mechanizmu obrotu płyga.

Model regresyjny narzuca postępowanie typu: parametry sygnałów w funkcji miary eksploataacji. Rozpoznany model trendu zmiany parametru można wyrazić:

$$y_n(v) = y_{n0} + \Delta y_n \cdot v^\alpha \quad (1)$$

gdzie:

- $y_n(v)$  – wartość parametru diagnostycznego,
- $y_{n0}$  – początkowa wartość parametru,
- $\Delta y_n$  – intensywność zmiany parametru w skali ilości cykli roboczych mechanizmu,
- $v$  – liczba cykli pozycjonowania mechanizmu,
- $\alpha$  – wykładnik potęgi określający charakter zmian parametru w przedziałach miary eksploataacji.

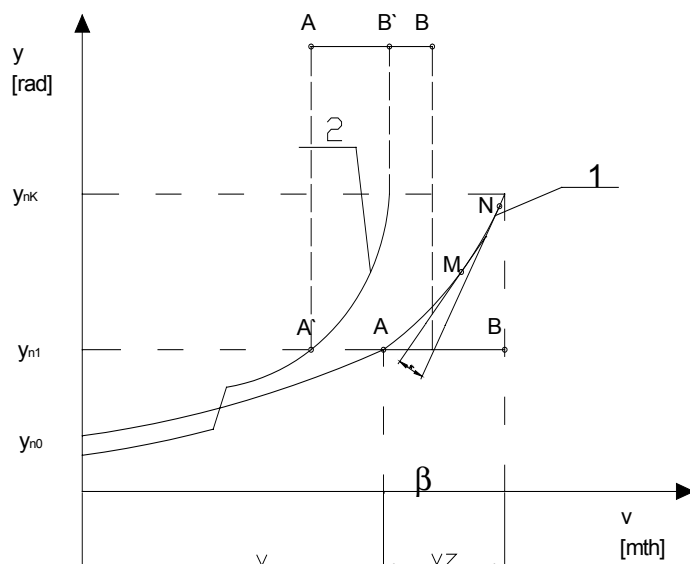
Zapas resuru obiektu zapisać można [Merkisz, Mazurek 2007]:

$$v_z = v \left[ \left( \frac{y_{nK}}{y_n(v)} \right)^{\frac{1}{\alpha}} - 1 \right] \quad (2)$$

gdzie:

- $V_z$  – zapas resuru obiektu,
- $V$  – przedział ilości cykli obiektu,
- $y_{nK}$  – wartość graniczna parametru diagnostycznego w odniesieniu do  $y_{n0}$ ,
- $y_n(V)$  – zmienna wartość parametru diagnostycznego.

Model regresyjny wymagałby znacznych uściśnień aby przebieg zmian czasu pozycjonowania mechanizmu obrotu płyga w funkcji ilości cykli roboczych zamieszczony na rys. 3. (stan wg krzywej nr 2) nie został przypisany np. tolerancji parametru  $y_{n0}$ . Wskaźnik potęgowy  $\alpha$  określający charakter zmian czasu pozycjonowania mechanizmu obrotu płyga został określony na podstawie uzyskanych wyników pomiarów na poziomie  $\alpha=1,86$ .



Rys. 3. Przebieg zmiany czasu pozycjonowania mechanizmu obrotu płyga w funkcji ilości cykli roboczych: Krzywa 1 – proces równomiernego zużycia elementów mechanizmu obrotu; Krzywa 2 – przyspieszone zużycie elementów na skutek występującego zjawiska udaru hydraulicznego

Fig. 3. The progress of change in positioning time of plough swivel mechanism in function of the number of working cycles: Curve 1 – the process of even wear of swivel mechanism elements; Curve 2 – faster wear of elements due to occurring hydraulic stroke effect

## Prognozowanie stanu technicznego...

---

Proces diagnostyki funkcjonalnej pługa realizowany jest z udziałem komputera pokładowego ciągnika, polega na wyznaczeniu trendu krzywej eksploatacyjnej w wyniku ciągłej rejestracji przebiegu zmian parametru diagnostycznego. Wyznaczenie parametru stanu granicznego obiektu na podstawie wartości rzędnej  $y_{nK}$  jest obarczone znacznym błędem wynikającym zarówno z indywidualnej cechy obiektu  $y_{n0}$  oraz możliwości zaistnienia podwyższzonego zużycia jednego ze składników obiektu. Stan ten rozróżnia przebieg krzywych 1 i 2, przy czym krzywa 2 kwalifikuje obiekt do przypadku podwyższzonego zużycia. Proces stopniowego narastania wartości  $y_n$  w przedziale  $V_z$  (krzywa 1) możliwy jest jedynie w przypadku równomiernego zużycia eksploatacyjnego składników obiektu.

W związku z tym analizie poddana zostaje krzywizna średnia  $k(MN)$  łuku MN (wg krzywej 1. na rys. 3) jako bezwzględna wartość miary łukowej kąta  $\beta$  zawartego pomiędzy stycznymi w M i N do długości (MN) jako:

$$k[\overline{MN}] = \frac{|\beta|}{|\overline{MN}|} \quad (3)$$

Uzyskiwanie ciągłości sygnału daje podstawy do zapisania trendu narastania parametru  $y_n(V)$  w przedziale czasu  $V_i$ .

Tak więc analiza krzywizny  $k(MN)$  w przedziałach kontrolnych wyznaczonych krzywizną łuku stanowi proces estymacji parametru diagnostyki funkcjonalnej mechanizmu obrotu pługa. Zawężając przedział kontrolny, tj. gdy punkt N dąży do punktu M, wyznaczamy położenie środka krzywizny łuku MN. Krzywizna w opisany przedziale równa jest odwrotnością promienia krzywizny  $R_M$ . Jeżeli równanie krzywej zapisane jest w postaci  $y = f(x)$  i funkcja  $f(x)$  ma drugą pochodną to promień krzywizny w przedziale  $M(x,y)$  tej krzywej wyraża się zależnością:

$$R_M = \frac{\left[1 + \left(\frac{dy}{dx}\right)^2\right]^{\frac{3}{2}}}{\left|\frac{d^2y}{dx^2}\right|}; \text{ gdzie } \frac{d^2y}{dx^2} \neq 0 \quad (4)$$

Jeżeli funkcja  $y=f(x)$  ma ekstremum w punkcie  $x=x_0$ , a więc gdy  $\left(\frac{dy}{dx}\right)_0 = 0$ , to krzywizna  $k_M$  równa się bezwzględnej wartości drugiej pochodnej w tym punkcie:

$$k_M = \left| \left( \frac{d^2y}{dx^2} \right)_{x_0, y_0} \right| \quad (5)$$

Krzywizna  $k_M$  w punkcie M jest granicą krzywizny średniej łuku MN tej krzywej gdy punkt N dąży do punktu M zgodnie z zapisem:

$$k_M = \lim_{M \rightarrow N} k(MN) \quad (6)$$

W przedziale nieliniowym narastania czasu odpowiedzi układu na wymuszenie, aproksymacja ma charakter wykładniczy zgodnie z uogólnionym zapisem:  $y=ax^2+bx+c$  w punkcie  $x=x_0$  ( $a \neq 0$ )

Wyznaczając pochodne:

$$\dot{y} = 2ax + b \quad \ddot{y} = 2a \quad (7)$$

wyznaczamy promień krzywizny:

$$R = \frac{(1+(2ax_0+b)^2)^{\frac{3}{2}}}{2|a|} \quad (8)$$

W wierzchołku paraboli o odciętej  $x = -\frac{b}{2a}$  mamy  $\dot{y}=0$ , a więc promień krzywizny paraboli  $R_w$  w wierzchołku jest równy:

$$R_w = \frac{1}{2|a|} \quad (9)$$

Zatem ocena trendu zmiany parametru diagnostycznego zbieżna jest z oceną zmian promienia krzywizny odniesionego do charakteru krzywej. W przypadku silnej zmiany charakteru narastania krzywizny, a więc szybkiego przyrostu rzędnej  $y_n$  w przedziałach czasu eksploatacji możemy zakwalifikować stan do przyspieszonego zużycia obiektu (krzywa nr 2 na rys.1). Dalszy przebieg krzywej cechuje się większym przyrostem rzędnych dla punktów kontroli diagnostycznych niż w przypadku przebiegu krzywej nr1 dla równomiernego zużycia elementów. Model regresyjny wymagałby znaczących uściśleń aby stan wg krzywej nr 2 nie został przypisany np. tolerancji montażowej zespołu (parametr  $y_{n0}$ ). Obserwacja trendu zmienności krzywizny charakterystyki w stopniu zadowalającym wskaże zagrożenie awaryjne mechanizmu obrotu płyta. Wyznaczony zapas resurs eksplatacyjnego dla diagnozowanego obiektu wg krzywej nr 1 nie może zostać odniesiony do przebiegu zużycia wg krzywej nr 2 przy wspólnej wartości parametru  $y_{n1}$ , gdyż w przypadku przyspieszonego zużycia zostanie przekroczena wartość graniczna parametru  $y_{nK}$  w prognozowanym czasie eksploatacji. Wskazuje na to zróżnicowana długość odcinka AB w stosunku do AB' (rys. 3).

W zaistniałych okolicznościach istnieje możliwość zalecenia kontroli serwisowej stanu technicznego mechanizmu obrotu płyty jako wynik procesu ciągłej diagnostyki obiektu z udziałem komputera pokładowego. Zasadnicze kryterium diagnozy odnosi się zatem do rozróżnienia stanu równomiernego i nierównomiernego zużycia eksplatacyjnego elementów zespołu.

## **Wnioski**

1. Wyznaczenie granicznej wartości rzędnej parametru zużycia zespołu powinno zostać odniesione do analizy funkcji zużycia - aby uniknąć błędów diagnozy i zbyt późnego dostrzeżenia groźby awarii zespołu.
2. Istnieje możliwość wykorzystania komputera pokładowego ciągnika do realizacji procedur diagnostyki funkcjonalnej płyty obrotowej w systemie on-line po zainstalowaniu przetworników pozycjonowania kątowego wybranego ogniw mechanizmu.
3. Koniecznym jest dokonanie pełnej identyfikacji obiektu w zakresie: symptom – wartość parametru diagnostycznego w odniesieniu do rozpatrywanego układu.

## **Bibliografia**

- Cieślikowski B. 2004. Vibration signal in estimation of working parameters of the fertiliser distributor. V International Scientific Conference on "Microprocessor Systems in Agriculture". Płock. s. 21-26.
- Michalski R. i in. 1997. Mikroprocesorowe systemy nadzoru stanu technicznego kombajnu zbożowego, II Konf. Naukowa „Systemy mikroprocesorowe w rolnictwie”. Płock. s. 63-72.
- Merkisz J., Mazurek S. 2007. Pokładowe systemy diagnostyczne OBD WKŁ. Warszawa. s. 30-41.
- Niziński S., Michalski R. 2002. Diagnostyka obiektów technicznych, Biblioteka Problemów Eksploatacji. Radom. s. 11-15.
- Rokosch U. 2007. Układy oczyszczania spalin i pokładowe systemy diagnostyczne samochodów OBD, WKŁ. Warszawa. s. 88-110.
- Materiały inf. 2005. LEMKEN VARI-OPAL7.

## **USING REGRESSION MODEL TO PREDICT TECHNICAL CONDITION OF PLOUGH SWIVEL MECHANISM**

**Abstract.** Intensity of change in swivel mechanism positioning was determined for time intervals of the LEMKEN VARI-OPAL7 swivel plough operation. Type regression model was developed: diagnostic signal parameter in function of the number of working cycles. Model of trend in the change of diagnostic parameter was written by means of determining power exponent characterising the nature of changes in technical condition of the object. The reserve in object service life was referred to measured values of the parameter taking into account boundary values. Moreover, the object operation curve trend was analysed.

**Key words:** functional diagnostics, regression model, diagnostic parameter, swivel plough

**Adres do korespondencji:**

Bogusław Cieślikowski; e-mail: bcieslikowski@ar.krakow.pl  
Katedra Inżynierii Mechanicznej i Agrofizyki  
Uniwersytet Rolniczy w Krakowie  
ul. Balicka 120  
30-149 Kraków